



دما - فشارسنجدی و جایگاه زمین‌ساختی سنگ‌های دگرگونی مجموعه‌ی افیولیتی شمال تربت حیدریه

محسن نصرآبادی^{۱*}، کاظم قلیزاده^۲

۱- گروه زمین‌شناسی، دانشکده علوم پایه، دانشگاه بین‌المللی امام خمینی قزوین (ره)

۲- سازمان فرآوری مواد معدنی کرج

(دریافت مقاله: ۹۴/۸/۲۵، نسخه نهایی: ۹۴/۸/۱۰)

چکیده: در مجموعه‌ی افیولیتی شمال تربت حیدریه سنگ‌های دگرگونی بیشتر از آمفیبولیت، آمفیبول‌شیست، گارت‌هورنبلندیت و به ندرت از رسوب‌های تخریبی و شیمیایی دگرگون شده یافته می‌شوند. محاسبات دما - فشارسنجدی نمونه‌های آمفیبولیت نشان‌دهنده‌ی دمای بالاتر از ۸۰۰ درجه سانتیگراد و فشار کمتر از ۵ کیلوبار است. شرایط دگرگونی نمونه‌های آمفیبول‌شیست و گارت‌هورنبلندیت فشار ۷/۵ تا ۱۳ کیلوبار و دمای ۵۷۰ تا ۷۷۰ درجه‌ی سانتیگراد است. این شرایط دگرگونی تقریباً با دما و فشار محاسبه شده‌ی نمونه‌ی گارت‌شیست هم‌جوار هم‌خوانی دارد. با توجه به ترکیب شیمیایی آمفیبول، شواهد بافتی و کانی‌شناسی، محاسبات دما - فشارسنجدی و تغییرات گردیان دگرگونی، نمونه‌های آمفیبولیت محصول سیستم گرمابی (هیدرورترمال) پشتی میان‌اقیانوسی در نظر گرفته شده‌اند در حالی که نمونه‌های دیگر به‌واسطه‌ی دگرگونی قاعده‌ای در شروع فرورانش به وجود آمده‌اند. همزیستی متابلیت با متابازیت‌های قاعده‌ای در مجموعه افیولیتی شمال تربت حیدریه مovid آن است که فرایند شروع فرورانش و جایگزینی افیولیت مجاور یک حاشیه قاره‌ای روی داده است.

واژه‌های کلیدی: دما - فشارسنجدی؛ شروع فرورانش؛ دگرگونی قاعده‌ای؛ افیولیت؛ تربت حیدریه.

مقدمه

و نیریز) و نیز گستره‌ی مکران مشاهده کرد. بیشتر پژوهشگرانی که به بررسی جغرافیای دیرین قلمرو نئوتیس پرداخته‌اند [۷-۱]، معتقدند که بسته شدن این حوضه‌ی اقیانوسی با فرورانش در راستای بلوك سندنج - سیرجان در زمان ژوراسیک تا کرتاسه [۱۱-۷] رخ داده است. زایش حوضه‌های پشتقوس کرتاسه در شمال خرده قاره‌ی ایران مرکزی به نام اقیانوس سبزوار [۱۲]، در جنوب و غرب آن اقیانوس فنوج [۱۳] یا نائین - بافت [۴] و در شرق تشکیل اقیانوس سیستان [۱۲] حاصل این سیستم فرورانش‌اند.

با وجود این که سنگ‌های دگرگونی وابسته به افیولیت‌ها از پایه‌های بنیادی در ارائه مدل ژئودینامیکی مناطق افیولیتی محسوب می‌شوند، ولی در بسیاری از مدل‌هایی که به بررسی

صفحه‌ی ایران از نظر زمین‌ساختی جهانی دارای موقعیت ویژه‌ای در قلمرو تیس بوده و فعالیت‌های زمین‌ساختی، ماقمایی و دگرگونی وابسته به فرورانش حوضه‌های اقیانوسی پروتوتیس، پالئوتیس و نئوتیس در آن قابل مشاهده‌اند. در این میان بقایای حوضه‌ی اقیانوسی نئوتیس و شواهد بسته شدن آن به صورت مجموعه‌ها و آمیزه‌های افیولیتی و سنگ‌های دگرگونی از گسترش وسیع‌تری نسبت به حوضه‌های اقیانوسی دیگر برخوردار است. برونزد مجموعه‌های افیولیتی یاد شده را می‌توان در اطراف خرده قاره‌ی ایران مرکزی شامل مناطق تربت حیدریه، سبزوار، نائین و بیرونی، در راستای کمربند زاگرس (مجموعه‌های افیولیتی خوی، کرمانشاه

*نویسنده مسئول، تلفن: ۰۲۸۳۳۹۰۷۸۰۰، نامبر: ۰۲۸۳۳۹۰۱۳۶۰، پست الکترونیکی: nasrabadi@Sci.ikiu.ac.ir

متاگابروهای دانه‌دار، آمفیبولیت و آمفیبول‌شیست در یک زمینه‌ی سرپانتینیتی دیده می‌شوند (شکل‌های ۱ پ، ۲ الف و ب). نمونه‌های آمفیبولیت به رنگ تیره و متوسط بلور بوده و در آنها انباشت‌های رگه‌ای روشن متشکل از پلاژیوکلاز وجود دارند (شکل ۲ پ). نمونه‌های آمفیبول‌شیست دارای برگوارگی و خطوارگی فراگیر هستند و در محل برونزد آنها مرمر و متاپلیت (شکل ۲ ت) نیز یافت می‌شوند.

سنگ‌نگاری

پیروکسن (کلینوپیروکسن و به ندرت ارتوپیروکسن) و پلاژیوکلاز دگرسان شده از کانی‌های سنگ‌ساز متاگابروهای توده‌ای هستند (شکل ۳ الف). در این نمونه‌ها، بخشی از بلورهای پیروکسن در حال تبدیل به آمفیبول است. از کانی‌های سنگ‌ساز آمفیبولیت می‌توان به آمفیبول، فلدرسپارهای دگرسان شده و به ندرت پیروکسن نام برد. مرزهای تماس غیرمستقیم آمفیبول و پیروکسن‌های هم‌جوار در این نمونه‌ها نشان از شرایط غیرتعادلی آنها دارد (شکل ۳ ب). ایلمنیت و تیتانیت از کانی‌های فرعی هستند. در یک نمونه از متابازیت‌ها که حاوی بیشتر از ۹۰ درصد هورنبلنده است گارنت نیز وجود دارد (شکل ۳ پ) که گارنت‌هورنبلنده خوانده می‌شود. در این نمونه، فاز تیتانیم‌دار اولیه روتیل است که به صورت بخشی در حال تبدیل شدن به ایلمنیت است (شکل ۳ ت). ادخال‌های روتیل موجود در گارنت نیز به صورت بخشی به‌وسیله‌ی ایلمنیت جایگزین شده‌اند. منشورهای آمفیبول سمت یافته و اپیدوت کانی‌های سنگ‌ساز نمونه‌های آمفیبول‌شیست هستند و در این نمونه‌ها پرکننده‌ی شکستگی‌ها است (شکل ۳ ث). در نمونه‌های آمفیبول‌شیست حاوی کلسیت، پاراژنر اسکارن مانند پیروکسن و اپیدوت نیز در محل انباشت کلسیت وجود دارد (شکل ۳ ج). کوارتز، فلدرسپار، گارنت، بیوتیت و موسکوویت کانی اصلی نمونه‌ی متاپلیتی غنی از کوارتز (گارنت‌شیست)، محسوب می‌شوند (شکل‌های ۳ ج و ح) و احتمالاً پروتولیت آن از رسوب‌های رسی غنی از کوارتز است.

شیمی کانی‌ها

به منظور شناخت ترکیب شیمیایی کانی‌ها و سنجش دما-فشار، از کانی‌های دو نمونه آمفیبولیت، دو نمونه آمفیبول‌شیست، یک نمونه گارنت‌هورنبلنده و یک نمونه متاپلیت بیش از ۸۰ تجزیه ریزپردازشی نقطه‌ای به عمل آمد که در ادامه به تشریح آن می‌پردازیم.

اقیانوس‌زایی و بسته‌شدن حوضه‌ی اقیانوسی اطراف خرده قاره‌ی ایران مرکزی پرداخته‌اند از اهمیت و نقش سنگ‌های دگرگونی در تفسیر این مدل‌ها کمتر بحثی به میان آمده است. از دیرباز توصیف مجموعه افیولیتی شمال تربت حیدریه که حاصل بسته شدن حوضه‌ی اقیانوسی سبزوار در کرتاسه-پالئوسن است [۱۵، ۱۴، ۲، ۱] با سنگ‌های دگرگونی همراهی-کننده آن گره خورده است، ولی فقر داده‌های سنگ‌شناختی این سنگ‌ها بسیار مشهود است. در این نوشتار سعی شده است که با توجه به شواهد صحرایی، میکروسکوپی، شیمی کانی‌ها و دما-فشار‌سنجی، ضمن شناخت و تشریح فرایندهای دگرگونی، مدل ژئودینامیکی جایگزینی افیولیت‌های شمال تربت حیدریه نیز ارائه گردد.

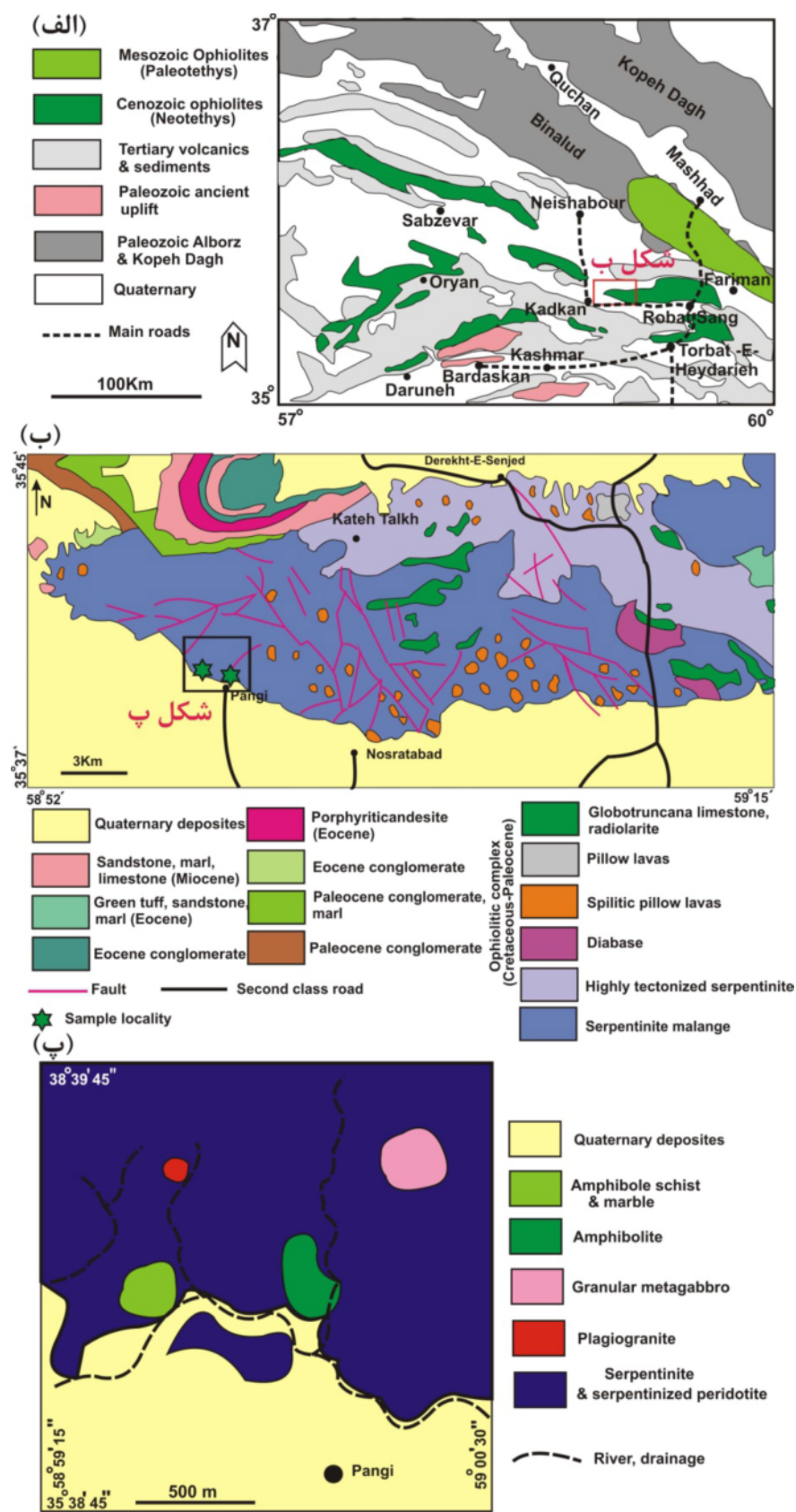
روش بررسی

روش بررسی شامل نمونه‌برداری از برونزدهای مختلف سنگ-های دگرگونی و بررسی ریزپردازش نقطه‌ای با استفاده از ریزپردازنده Cameca SX100 در مرکز فرآوری مواد معدنی است. در طول آنالیز، ولتاژ ۱۵KV، شدت جریان ۱۵nA و زمان شمارش ۳۰ ثانیه بوده‌اند. در محاسبه‌ی فرمول ساختاری کانی‌ها از نرم‌افزار Calc Min و به منظور برآورد دما و فشار دگرگونی، از دما-فشار‌سنج‌های قراردادی، نتایج داده‌های آزمایشگاهی و شبکه‌های پتروزنیک استفاده شده است.

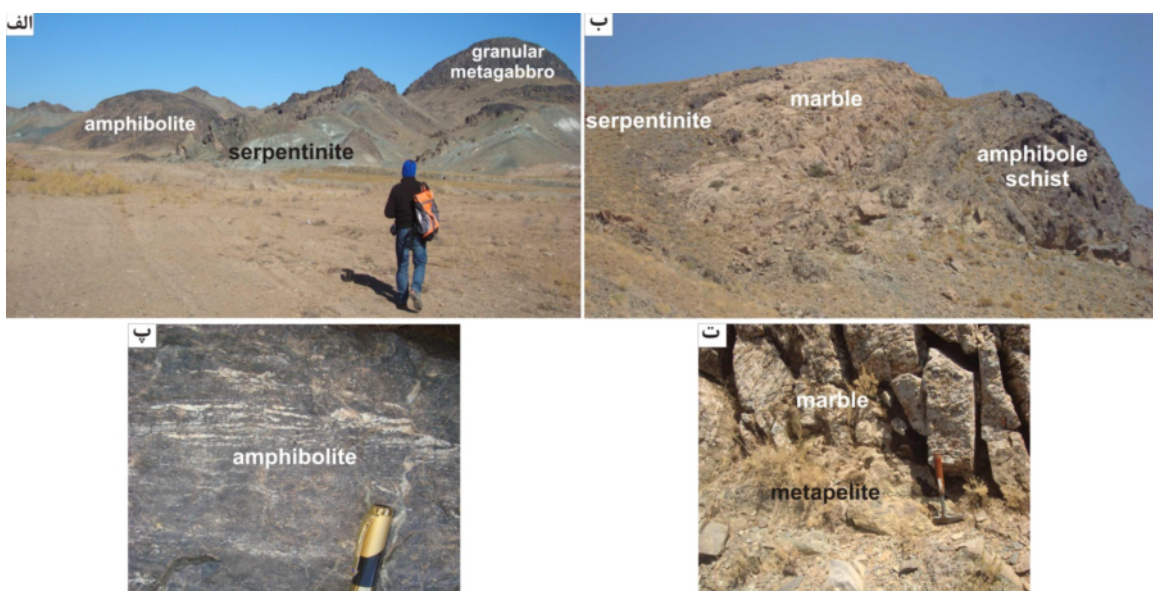
زمین‌شناسی عمومی

در شمال شرق ایران علاوه بر افیولیت‌های مزوژوئیک اطراف مشهد، مجموعه‌های افیولیتی تربت حیدریه و سبزوار به طول تقریبی ۴۰۰ کیلومتر بین بلوک لوت و پهنه‌ی بینالود نیز دیده می‌شوند. به منظور دسترسی به مجموعه‌ی افیولیتی شمال تربت حیدریه می‌توان از جاده‌های ارتباطی مشهد-رباط سنگ، تربت حیدریه-رباط سنگ و نیشابور-کدکن استفاده کرد. (شکل ۱ الف).

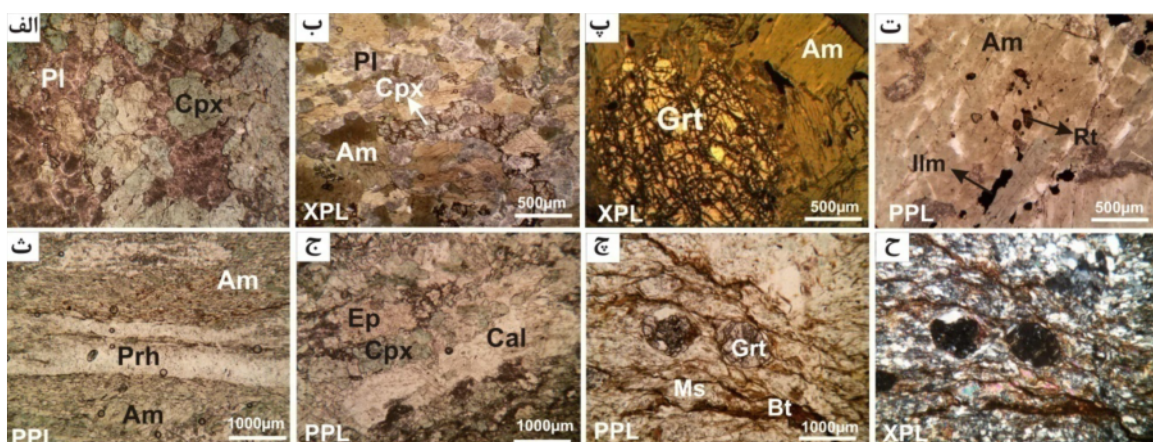
مشابه مناطق افیولیتی دیگر ایران، سرپانتینیت و پریدوتیت‌های سرپانتینیتی بخش اصلی مجموعه افیولیتی شمال تربت حیدریه را تشکیل می‌دهند (شکل ۱ ب). برونزدهای محدودی از بازالت‌های بالشی و اسپیلیتی شده، مجموعه‌ی دایک‌های صفحه‌ای و به ندرت پلاژیوگرانیت نیز وجود دارند. لیستوینیتی شدن فرایندی فراگیر در این مجموعه افیولیتی است. در بخش جنوبی توالی گوشته‌ای شمال روستای پنگی، که به نهشته‌های کواترنر ختم می‌شود برونزدهایی از



شکل ۱ الف- نقشه‌ی زمین‌شناسی ساده‌ی شمال شرق ایران که در آن پراکندگی افیولیت‌های مژوزوئیک و پالئوزوئیک نیز دیده می‌شوند (با تغییرات از [۱۶، ۱۷]). ب- نقشه‌ی زمین‌شناسی ساده‌ی از بخش غربی مجموعه‌ی افیولیتی شمال تربت حیدریه (با تغییرات از [۱۸]).



شکل ۲ الف- دورنمایی از بروند آمفیبولیت‌های فولیاسیون دار شمال پنگی (نگاه به سمت شمال غرب). ب- بروند آمفیبولیت شیست شمال غرب پنگی همراه با مرمر که در زمینه‌ی سرپانتینیتی قرار دارند (نگاه به سمت شرق). پ- انباشت فلسیک متسلک از پلازیوکلاز در آمفیبولیت. ت- بروند متاپلیت در محل تماس مرمر و آمفیبولیت شیست.



شکل ۳ الف- کلینوپیروکسن و پلازیوکلازهای تجزیه شده کانی‌های سنگ‌ساز متاگابروهای گرانولار. ب- در آمفیبولیت‌های فولیاسیون دار بلورهای معده‌دی از کلینوپیروکسن، با آمفیبولیت‌های اطراف حالت غیرتعادلی نشان می‌دهند. پ- پورفیروبلاست گارنت در نمونه‌ی گارنت-هورنبلنیدیت. ت- ادخال‌های روتیل موجود در آمفیبولیت نمونه گارنت-هورنبلنیدیت که به طور بخشی در حال تبدیل شدن به ایلمنیت هستند. ث- تصویر میکروسکوپی نمونه‌ی آمفیبولیت شیست با رگه‌ی پرهنیت. ج- پاراژن اپیدوت، کلینوپیروکسن، آمفیبولیت و کلسیت در نمونه‌های آمفیبولیت شیست. کلسیت دار. چ و ح- گارنت، کوارتز، فلدرسپار، بیوتیت و موسکوکیت کانی‌های سنگ‌ساز گارنت‌شیست هستند (آمفیبولیت: Am، کلینوپیروکسن: Cpx، پلازیوکلاز: Pl، بیوتیت: Bt، کلسیت: Cal، اپیدوت: Ep، گارنت: Grt، پرهنیت: Prh، روتیل: Rt). علائم اختصاری از [۱۹] اقتباس شده‌اند.

متابازیت‌ها
آمفیبولیت
پارگازیت و منیزیو-هورنبلنده و آمفیبولیت نمونه‌ی گارنت-هورنبلنیدیت چرمکیت نام دارند (شکل ۴ الف). در نمودار جداکننده‌ی متمایز کننده آمفیبولیت‌ها [۲۱]، آمفیبولیت‌های نمونه‌های آمفیبولیت در گستره‌ی ماگمایی یا منطقه‌ی هم-پوشی گستره‌های ماگمایی و دگرگونی قرار گرفته‌اند. اما انواع

بنابر رده‌بندی آمفیبولیت‌ها [۲۰] آمفیبولیت نمونه‌های مورد بررسی، از نوع کلسیک $\frac{\text{Ca}}{\text{Ca} + \text{Na}} \geq 0.75$ هستند. انواع موجود در نمونه‌های آمفیبولیت و آمفیبولیت شیست

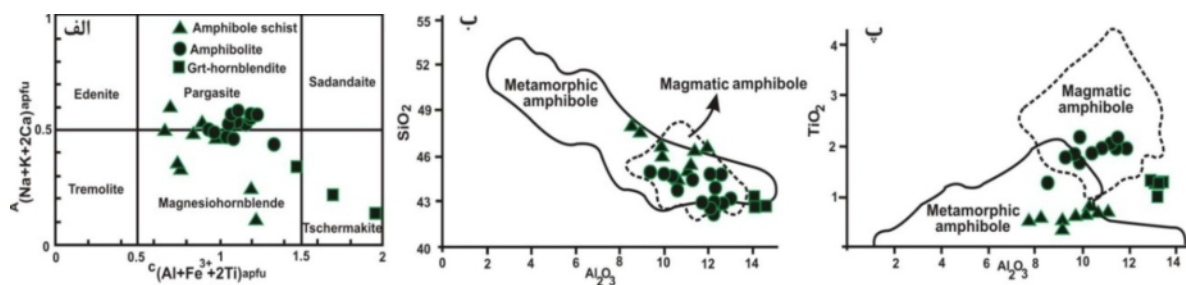
دگرشكلي فراگير نفوذ بيشتر سيلات و دگرساني شديفتر را به دنبال خواهد داشت. در نتيجه بر خلاف گابروهاي توده‌هاي که حاوي مقادير زيادي پيروكسن ماقامي هستند بيشتر پيروكسن موجود در نمونه‌هاي گابروي فولياسيون دار به آمفيبول تبديل شده و در حال حاضر به صورت آمفيبوليت دیده می‌شوند.

نظر به همزيسن آمفيبول و گارنت در نمونه‌هاي گارنت‌هورنبلنديت، خاستگاه دگرگونی آنها محرز است. در نمونه‌هاي آمفيبول‌شيسن نيز وجود منشورهاي ريز آمفيبول با خطوارگي ترجيحي شديد که همزيسن با پارازنز اسکارن مانند کلينوپيروكسن، اپيدوت و کلسیت هستند بيان‌گر خاستگاه دگرگونی آنهاست.

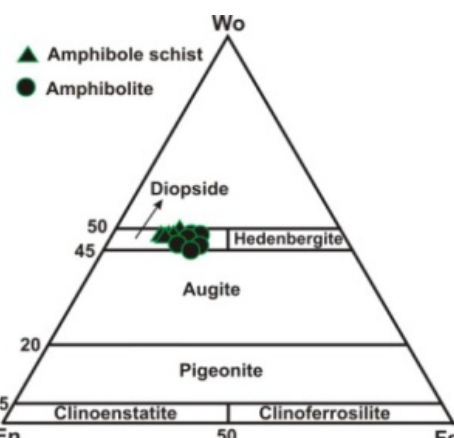
كلينوپيروكسن

بنابر نمودار رده‌بندی پيروكسن‌ها [۲۲] پيروكسن نمونه‌هاي آناليز شده از نوع ديوپسيد هستند (شكل ۵).

موجود در نمونه‌هاي آمفيبول‌شيسن و گارنت‌هورنبلنديت اساساً داراي خاستگاه دگرگونی هستند (شكل‌هاي ۴ ب و پ). اين امر بيان‌گر شرياط متفاوت تبلور آمفيبول در اين نمونه‌هاست. احتمالاً آمفيبول نمونه‌هاي آمفيبوليت ناشي از تقابل پيروكسن با گدازه يا سيل غني از آب در پشت‌هه ميان اقيانوسی هستند. وجود سطوح تماس غيرمستقيم بين بلورهای کلينوپيروكسن و آمفيبول و رشد نامنظم آمفيبول در اطراف بلورهای کلينوپيروكسن نمونه‌هاي آمفيبوليت، بيان‌گر شرياط غيرتعادلي و به عبارتی خاستگاه دگرگونی آمفيبول هاست. نشست آب دريا به مجتمعه گابروي، از طريق شکستگه‌هاي پوسته اقيانوسی صورت مي‌گيرد. تاثير نiroهای برشی محل گسيختگی‌هاي پشته نيز موجب شکستگی در گابرو و به دنبال آن تسهيل نفوذ سيلات و دگرگونی گرمابي مي‌شود. احتمالاً نمونه‌هاي آمفيبوليت مورد بررسی در نتيجه‌ي دگرشكلي و دگرگونی گرمابي با دمای بالا در چنین جایگاهی تشکيل شده‌اند.



شكل ۴ الف- بنابر نمودار رده‌بندی آمفيبول [۲۰]، آمفيبول نمونه‌هاي آمفيبول‌شيسن و آمفيبوليت مجموعه‌ي افيوليتی شمال تربت حيدريه از نوع کلسیک بوده و غالباً پارگازیت و منیزیوهومنبلنید نام دارند. آمفيبول نمونه‌ي گارنت‌هورنبلنديت نيز از نوع چرمакیت است. با توجه به نمودار متمایز‌کننده منشا آمفيبول [۲۱]، آمفيبول نمونه‌هاي گارنت‌هورنبلنديت و آمفيبول‌شيسن از نوع دگرگونی و آمفيبول نمونه‌هاي آمفيبوليت بيشتر از نوع آذرین هستند.



شكل ۵ با توجه به نمودار رده‌بندی پيروكسن [۲۲]، پيروكسن نمونه‌هاي آمفيبول‌شيسن و آمفيبوليت مجموعه‌ي افيوليتی شمال تربت حيدريه يکسان بوده و از نوع ديوپسيد است.

دهنده‌ی وجود سازنده‌ای زیرنده: آلماندن (۵۴ تا ۵۸ درصد)، گروسووار (۱۶ تا ۱۹ درصد)، پیروپ (۱۴ تا ۲۴ درصد) و اسپارتنین (۴ تا ۹ درصد) هستند. حاشیه‌ی گارنت‌های آنالیز شده نسبت به مرکز آنها از مقادیر منیزیم بالاتر و منگنز کمتری برخوردارند که نشان‌دهنده‌ی رشد آنها طی دگرگونی پیش-رونده است.

فلدسبار

مطابق داده‌های موجود در جدول ۱ فلدسبار موجود در نمونه‌های آمفیبولیت از نوع آلبیت بوده و سازنده‌ای آن عبارتند از آلبیت (۹۲ تا ۹۶ درصد)، آنورتیت (۴ تا ۶ درصد) و ارتوز (۰/۲ تا ۰/۷ درصد). این ویژگی ژئوشیمیایی با ظاهر دگرسان شده فلدسبارها هم خوانی دارد. نمونه‌ی آمفیبولیت نیز حاوی فلدسبار غنی از آلبیت (آلبیت: ۹۱/۸ درصد، آنورتیت: ۷/۸ درصد و ارتوز: ۰/۳ درصد) است.

بر خلاف تشابه ترکیب کلینوپیروکسن موجود در نمونه‌های آمفیبولیت و آمفیبولیت، شکل-گیری و شرایط تشکیل آنها متفاوت است. پیروکسن نمونه‌های آمفیبولیت، به صورت پاراژنر اسکارن مانند، تنها در محل انباست اپیدوت و کلسیت یافت می‌شود، لذا در شرایط دگرگونی به وجود آمده است. در نمونه‌های آمفیبولیت شواهد بافتی به عنوان مثال وجود ادخال آمفیبول اولیه در پیروکسن که مovid خاستگاه دگرگونی پیروکسن باشد وجود ندارد. از طرفی واکنش آبزدایی آمفیبول و تشکیل پیروکسن دگرگونی با ایجاد مذاب ترونجمیتی نیز همراه است. لازم به یادآوری است که انباست-های فلزیک نمونه‌های آمفیبولیت شامل پلازیوکلار، عاری از کوارتز است.

گارنت

داده‌های گارنت نمونه‌ی گارنت‌هورنبلنیت (جدول ۱)، نشان

جدول ۱ نتایج تعدادی از داده‌های تجزیه‌ی ریزپردازشی نقطه‌ای کانی‌های آمفیبول، کلینوپیروکسن، گارنت، فلدسبار، بیوتیت و موسکوویت ۵ نمونه متابازی و یک نمونه از متاپلیت را نشان می‌دهد. فرمول شیمیایی این کانی‌ها به ترتیب بر اساس ۲۳، ۲۳، ۶، ۱۲، ۸، ۱۱ و ۱۲ اکسیژن محاسبه شده است. جدایش آهن دو و سه ظرفیتی به روش تعادل بار صورت گرفته و آهن کل به صورت FeO^t محاسبه شده است.

Sample	آمفیبول، شیست کلسیت دار						گارنت‌هورنبلنیت						
	Mineral			Am			Cpx			Am		Grt	
		rim	core										
Analysis	۱#	۲#	۱۰#	۸#	۹#	۶#	۱۶#	۱۷#	۱۸#	۱۴#	#۱۵	۱۲#	۱۳#
SiO_2	۴۶.۲۵	۴۶	۴۷.۵۸	۵۲.۱۵	۵۳.۱۱	۵۲.۲۸	۴۲.۶۹	۴۳.۱۱	۴۲.۷۹	۳۷.۹۴	۳۸.۰۴	۳۷.۴۲	۳۷.۵
TiO_2	۰.۶۴	۰.۷۴	۰.۵۲	۰.۰۱	۰.۰۴	۰.۱۶	۱.۲۸	۱.۲۹	۱.۳۲	۰.۱۱	۰.۰۸	۰.۰۸	۰.۰۴
Al_2O_3	۱۱.۰۶	۱۰.۵۵	۷.۹	۰.۶۹	۰.۷۷	۱.۷۶	۱۲.۰۸	۱۳	۱۳.۳۹	۲۰.۲۵	۲۰.۶۹	۲۰.۲۲	۱۲.۱۴
FeO^t	۱۲.۳۵	۱۲.۵۳	۱۳.۲۲	۷.۸۱	۷.۷۵	۷.۹۹	۱۵.۳۵	۱۵.۴۸	۱۵.۰۴	۲۹	۲۷.۷۶	۲۸.۱۴	۲۸.۵۷
MnO	۰.۲۲	۰.۲۵	۰.۳	۰.۴۵	۰.۳۷	۰.۴۱	۰.۵۱	۰.۵۱	۰.۵۱	۰.۵	۰.۵	۰.۲۱	۰.۰۴
MgO	۱۳.۲۸	۱۲.۶۴	۱۴.۰۱	۱۲.۷۴	۱۳.۸۴	۱۳.۴۴	۱۱.۸۱	۱۲.۴۷	۱۱.۹۹	۴.۲۸	۶.۲۶	۳.۵۲	۳.۷
CaO	۱۲.۱۶	۱۲.۵۶	۱۲.۵۵	۲۲.۶۸	۲۴.۵۹	۲۴.۴	۹.۶	۹.۵۸	۹.۲	۶.۲۹	۵.۷۸	۶.۶۷	۶.۴۹
Na_2O	۱.۰۳	۰.۰۴	۰.۹۹	۰.۲۲	۰.۲۹	۰..	۲.۳۱	۱.۴۷	۲.۱۱	۰.۰	۰.۰	۰.۰	۰.۰۲
K_2O	۰.۴۲	۰.۵۶	۰.۳۹	۰.۰۱	۰.۰۳	۰..	۰.۱	۰.۱	۰.۰۹	۰.۰۱	۰.۰	۰.۰۱	۰.۰۱
Total	۹۷.۴۱	۹۶.۹۱	۹۷.۴۷	۹۹.۷۶	۱۰۰.۷۹	۱۰۰.۴۴	۹۶.۷۳	۹۷.۰۱	۹۶.۹۹	۱۰۰.۷۹	۱۰۰.۸۶	۱۰۰.۴۶	۱۰۰.۴۸
Si	۶.۶۷۴	۶.۶۴	۶.۹۱۲	۱.۹۸۳	۱.۹۵۹	۱.۹۴۲	۶.۱۷	۶.۱۳۲	۶.۱۱۹	۲.۹۸۳	۲.۹۵	۲.۹۶۵	۲.۹۶۸
Ti	۰.۰۶۹	۰.۰۸	۰.۰۵۶	۰..	۰.۰۰۱	۰.۰۰۴	۰.۱۳۹	۰.۱۳۸	۰.۱۴۲	۰.۰۰۶	۰.۰۰۴	۰.۰۰۴	۰.۰۰۲
Al^{IV}	۱۲.۳۵	۱۳.۵۹	۱۰.۱۷	۰.۰۱۶	۰..	۰.۰۵۸	۱.۸۲۹	۱.۸۶	۱.۸۸۱	۰.۰۱۶	۰.۰۴۹	۰.۰۳۵	۰.۰۲۱
Al^{VI}	۰.۵۵۶	۰.۴۲۵	۰.۲۶۴	۰.۰۱۴	۰.۰۳۳	۰.۰۱۹	۰.۳۹۸	۰.۳۱۳	۰.۳۷۵	۱.۸	۱.۸۴۱	۱.۸۵۳	۱.۸۴۷
Fe^{+2}	۰.۹۸۶	۰.۷۵۵	۱.۱۵۶	۰.۲۲۵	۰.۱۷۱	۰.۲۱۸	۰.۳۴۱	۰..	۰.۰۵۷	۱.۷۶۴	۱.۶۰۲	۱.۶۹۲	۱.۷۰۸
Fe^{+3}	۰.۵۰۴	۰.۷۶۲	۰.۴۵۱	۰.۱۸	۰.۰۶۷	۰.۰۳	۱.۵۱۴	۱.۸۴۱	۱.۸	۰.۱۴۲	۰.۱۹۸	۰.۱۷۲	۰.۱۸۲
Mn	۰.۰۲۶	۰.۰۳	۰.۰۳۶	۰.۰۱۴	۰.۰۱۱	۰.۰۱۲	۰.۰۶۲	۰.۰۶۱	۰.۰۶۷	۰.۱۹۶	۰.۱۴۵	۰.۲۹۵	۰.۲۶۸
Mg	۲۸.۵۷	۲۹.۳۵	۳۰.۳۴	۰.۷۶۴	۰.۷۶۱	۰.۷۴۴	۲.۵۴۴	۲.۶۴۵	۲.۵۵۶	۰.۵۱	۰.۷۲۷	۰.۴۱۵	۰.۴۶
Ca	۱.۸۸	۱.۹۲	۱.۹۵۳	۰.۹۴۶	۰.۹۷۲	۰.۹۷۱	۱.۴۸۶	۱.۴۸	۱.۴۰۹	۰.۵۲۷	۰.۴۸	۰.۵۶۶	۰.۵۵
Na	۱.۲۸۸	۰.۱۱	۰.۲۷۸	۰.۰۱۵	۰.۰۲	۰..	۰.۶۴۷	۰.۴۰۵	۰.۵۸۵	۰..	۰.۰	۰.۰۰۳	۰.۰۰۳
K	۰.۰۷۷	۰.۱۳	۰.۰۷۲	۰..	۰.۰۰۱	۰..	۰.۱۸	۰.۰۱۸	۰.۰۱۶	۰..	۰.۰	۰.۰	۰.۰
sum	۱۶.۱۲۲	۱۵.۰۵	۱۵.۱۹۸	۳.۹۹۵	۳.۹۹۶	۳.۹۹۸	۱۵.۱۴۸	۱۴.۸۸	۱۵.۱۴۸	۷.۹۹۵	۷.۹۹۶	۷.۹۹۷	۷.۹۹۵
Mg#	۷۴	۷۹	۷۲	۷۷	۸۱	۷۷	۸۸	۱۰۰	۹۷	۲۲	۳۱	۱۹	۲۰
$\text{Ca}^{+2}/(\text{Ca}^{+2} + \text{Mg}^{+2})$	۰.۹۴	۰.۹۹۶	۰.۹۸۸				۰.۷۵۳	۰.۸۷۹	۰.۸۸				
Wo				۴۷.۸۷	۴۸.۷۵	۴۸.۹۸							
En				۳۸.۹۷	۳۸.۳	۳۷.۶۲							
Fs				۱۲.۱۶	۱۲.۹۵	۱۲.۴							
Grs										۱۷.۶	۱۶.۲	۱۹	۱۸.۵
Pyp										۱۶.۷	۲۴.۶	۱۴	۱۴.۷
Alm										۵۸.۷	۵۴	۵۶.۸	۵۷.۵
Sps										۶.۵	۴.۹	۹.۹	۹

ادامه جدول ۱

Sample	آمفیبولیت NP3						آمفیبولیت NP6							
	Mineral			Am		Cpx		Am		Cpx		Fsp		Prh
Analysis	۵#	۶#	۱۲#	۷#	۱#	۱۳#	۲۶#	۲۰#	۳۴#	۲۸#	۳۶#	۱۶#	#17	
SiO ₂	۴۲,۵۸	۴۲,۷۷	۴۳,۱۸	۵۰,۸۶	۵۱,۶۸	۴۴,۵۱	۴۲,۲۲	۵۲,۵	۵۱,۹	۶۸,۶۵	۶۹,۸	۴۵,۸۹	۴۵,۷۹	
TiO ₂	۲,۰	۲,۱۶	۲,۰	۰,۳۴	۰,۲۵	۱,۸۷	۱,۹۶	۰,۱۷	۰,۰۵	۰,۰	۰,۰	۰,۲۳	۰,۰	
Al ₂ O ₃	۱۱,۲۴	۱۱,۴۴	۱۱,۹۳	۳,۷۹	۳,۲	۱,۰۳۹	۱۱,۳۸	۱,۲	۰,۴۴	۱۹,۶۲	۱۸,۶۷	۲۴,۷	۲۴,۷	
FeO ^t	۱۵,۹۸	۱۶,۳۳	۱۳,۷۶	۱,۰	۹,۳۴	۱۵,۸۱	۱۷,۲۵	۱۱,۴۶	۱۱,۵۵	۰,۰۵	۰,۰۹	۰,۲۳	۰,۲۶	
MnO	۰,۲۸	۰,۳۳	۰,۲۵	۰,۲۹	۰,۲۱	۰,۲۶	۰,۲۶	۰,۳۹	۰,۴۱	۰,۰	۰,۰	۰,۰	۰,۰۲	
MgO	۱۱,۵۴	۱۱,۲۷	۱۱,۹۵	۱۱,۹۵	۱۲,۳۷	۱۱,۸۵	۱۰,۲۹	۱۲,۵۷	۱۲,۲۶	۰,۰۲	۰,۰	۰,۰	۰,۰	
CaO	۱۰,۴	۰,۵۴	۱۱,۸	۲۲,۴۴	۲۲,۶۶	۱۱,۵۹	۱۱,۴۵	۲۱,۹۶	۲۴,۱۳	۱,۲۲	۰,۸۹	۲۷,۷	۲۷,۶۹	
Na ₂ O	۲,۱۱	۲,۱۶	۱,۸۵	۰,۵۷	۰,۵۹	۱,۸	۱,۷۴	۰,۱۹	۰,۰۸	۹,۱۵	۹,۷۸	۰,۰۶	۰,۱	
K ₂ O	۰,۲۸	۰,۲۹	۰,۳۱	۰,۰	۰,۰	۰,۵۲	۰,۷۱	۰,۰	۰,۰۱	۰,۱۱	۰,۰۴	۰,۰	۰,۰۳	
Total	۹۶,۴۱	۹۷,۲۹	۹۷,۰۳	۱۰۰,۲۴	۱۰۰,۳	۹۸,۶	۹۷,۲۶	۱۰۰,۴۴	۱۰۰,۸۳	۹۸,۸۲	۹۹,۲۷	۹۸,۸۱	۹۸,۵۱	
Si	۶,۲۸	۶,۲۷۴	۶,۳۵۸	۱,۱۹۸	۱,۹۲۳	۶,۴۸۱	۶,۳۰۲	۱,۹۷	۱,۹۴۴	۳,۰۱۲	۳,۰۴۸	۶,۰۹	۶,۰۹۵	
Ti	۰,۲۲۱	۰,۲۳۸	۰,۲۲۱	۰,۰۰۹	۰,۰۰۷	۰,۲۰۴	۰,۲۲	۰,۰۰۴	۰,۰۰۱	۰,۰	۰,۰	۰,۰۲۳	۰,۰	
Al ^{IV}	۱,۷۱۹	۱,۷۲۵	۱,۶۴۱	۰,۱۰۱	۰,۰۷۶	۱,۵۱۸	۱,۶۹۸	۰,۰۲۹	۰,۰	۱,۰۱۴	۰,۹۶۱	۳,۸۶۴	۳,۸۷۵	
Al ^{VI}	۰,۲۳۴	۰,۲۵۲	۰,۴۲۹	۰,۰۶۵	۰,۰۶۳	۰,۲۶۵	۰,۳۰۴	۰,۰۲۳	۰,۰۱۹					
Fe ²⁺	۰,۸۷۳	۰,۹۸۹	۱,۲۳۵	۰,۲۵۳	۰,۲۴۸	۱,۳۰۳	۱,۰	۰,۳۴۸	۰,۲۶۶	۰,۰	۰,۰	۰,۰۲۶	۰,۰۰۹	
Fe ³⁺	۱,۰۹۷	۱,۰۱۴	۰,۴۵۸	۰,۰۵۸	۰,۰۴۲	۰,۶۲۱	۰,۶۰۲	۰,۰۱	۰,۰۹۵	۰,۰۰۱	۰,۰۰۳	۰,۰	۰,۰	
Mn	۰,۰۳۵	۰,۰۴۱	۰,۰۳۱	۰,۰۰۹	۰,۰۰۶	۰,۰۳۲	۰,۰۲۲	۰,۰۱۲	۰,۰۱۳	۰,۰	۰,۰	۰,۰	۰,۰۰۲	
Mg	۲,۵۳۷	۲,۴۶۴	۲,۶۲۳	۰,۶۶۵	۰,۶۸۶	۲,۵۷۲	۲,۲۸۹	۰,۷۰۳	۰,۶۸۴	۰,۰	۰,۰	۰,۰	۰,۰	
Ca	۱,۶۴۳	۱,۶۵۶	۱,۸۶۱	۰,۱۹۷	۰,۹۰۳	۱,۸۰۸	۱,۸۳۱	۰,۸۸۳	۰,۶۶۸	۰,۰۵۷	۰,۰۴۱	۳,۹۳۹	۳,۹۴۹	
Na	۰,۸۰۳	۰,۶۱۴	۰,۵۲۸	۰,۰۴۱	۰,۰۴۲	۰,۵۰۸	۰,۵۰۲	۰,۰۱۳	۰,۰۰۵	۰,۷۷۸	۰,۸۲۸	۰,۰۱۵	۰,۰۲۶	
K	۰,۰۵۲	۰,۰۵۴	۰,۰۵۸	۰,۰	۰,۰	۰,۰۹۶	۰,۱۳۵	۰,۰	۰,۰	۰,۰۰۶	۰,۰۰۲	۰,۰	۰,۰۰۵	
sum	۱۵,۲۵۸	۱۵,۳۲۱	۱۵,۴۴۳	۲,۹۹۶	۳,۹۹۶	۱۵,۴۰۸	۱۵,۴۶۶	۲,۹۹۵	۳,۹۹۵	۴,۸۶۸	۴,۸۸۳	۱۳,۹۵۷	۱۳,۹۸۴	
Mg#	۷۴	۷۱	۶۷	۷۲	۷۳	۶۶	۶۰	۶۶	۷۱					
B _{Ca} ^B (Ca+Na)	۰,۹۳۳	۰,۹۳۱	۰,۹۶۴			۰,۹۴۹	۰,۹۵۵							
Wo				۴۷,۱۵	۴۷,۶			۴۴,۹۷	۴۷,۷۲					
En				۳۵,۱۲	۳۶,۷			۳۵,۸۹	۳۳,۷۵					
Fs				۱۷,۷۳	۱۵,۷			۱۹,۱۴	۱۸,۵۳					
Ab										۹۲,۴	۹۴,۹			
Or										۰,۷	۰,۲			
An										۶,۸	۴,۷			

ادامه جدول ۱

Sample	آمفیبول شیست NWP1						گارنت شیست NP8								
	Mineral		Am		Cpx		Fsp	Bt		Ms		Fsp		Grt	
													core	rim	
Analysis	۲۴#	۲۸#	۲۵#	۲۶#	۳۱#	۷#	۱۷#	۵#	۲۰#	۱۰#	۱۱#	۲#	۱۵#		
SiO ₂	۴۵,۱۸	۴۵,۶۵	۵۲,۴۶	۵۲,۴۱	۶۸,۵۵	۳۶,۶۳	۳۴,۹۷	۴۸,۱	۴۹,۹۵	۶۷,۱۶	۶۷,۲۷	۳۷,۷۱	۳۷,۶۹		
TiO ₂	۰,۷۶	۰,۵۵	۰,۱۸	۰,۰۹	۰,۰	۱,۷۴	۲,۱۲	۰,۷۳	۰,۸۹	۰,۰۵	۰,۰	۰,۱۵	۰,۱۳		
Al ₂ O ₃	۱۰,۳۸	۹,۱۸	۱,۲۹	۱,۴۶	۱۹,۶	۱۹,۸۲	۱۹,۰۵	۳۵,۶۹	۳۶,۱	۲۱,۲۷	۲۲,۲۷	۲۰,۲۸	۲۰,۵۵		
FeO ^t	۱۳,۵۶	۱۲,۹۸	۷,۱۳	۶,۸۴	۰,۱	۲۱,۶۱	۲۳,۵۱	۱,۳۷	۱,۲۵	۰,۶۹	۰,۱۷	۲۶,۸۵	۲۹,۳۴		
MnO	۰,۱۹	۰,۲	۰,۲۲	۰,۲	۰,۰۱	۰,۲۵	۰,۲۴	۰,۰۳	۰,۰	۰,۱۱	۰,۱۵	۱۰,۷۳	۷,۰۷		
MgO	۱۲,۲۷	۱۴,۰۳	۱۴,۳۹	۱۴,۱۶	۰,۰۲	۱,۷۳	۹,۴۸	۰,۶۶	۰,۶۶	۰,۰۴	۰,۲۸	۱,۵۶	۲,۵۵		
CaO	۱۲,۵۳	۱۲,۷۳	۲۴,۴۳	۲۴,۲۲	۱,۴۸	۰,۳۹	۰,۱۲	۰,۰۸	۰,۰۵	۲,۲۲	۲,۳۶	۳,۳۸	۳,۰۷		
Na ₂ O	۱,۷	۱,۵۵	۰,۶۳	۰,۶	۹,۶۳	۰,۲	۰,۱۴	۰,۴۶	۰,۳۸	۷,۰۶	۷,۰۶	۰,۰	۰,۰		
K ₂ O	۰,۶۳	۰,۴۳	۰,۰	۰,۰	۰,۰۵	۶,۲۲	۶,۶۵	۷,۵۷	۶,۹۹	۰,۵۵	۱,۱۷	۰,۰۱	۰,۰۳		
Total	۹۷,۲	۹۶,۹	۱۰۰,۷۱	۱۰۰,۰۸	۹۹,۴۴	۹۵,۵۹	۹۶,۲۸	۹۴,۶۹	۹۶,۲۷	۱۰۰,۴۷	۱۰۰,۷۲	۱۰۰,۶۷	۱۰۰,۴۳		
Si	۶,۶۹۱	۶,۶۸۱	۱,۹۲۹	۱,۹۳۳	۲,۹۹	۲,۷۴۴	۲,۶۴۷	۶,۲۱۴	۶,۲۷۷	۲,۹۲۱	۲,۹۱۱	۳,۰۴	۳,۰۲۶		
Ti	۰,۰۸۴	۰,۰۶	۰,۰۰۲	۰,۰۰۲	۰,۰	۰,۰۹۸	۰,۱۲	۰,۰۷	۰,۰۸	۰,۰۰۱	۰,۰	۰,۰۰۹	۰,۰۰۷		
Al ^{IV}	۱,۳۰۸	۱,۳۱۸	۰,۰	۰,۰	۰,۰۱	۱,۲۵۵	۱,۳۵۲	۱,۷۸۵	۱,۷۲۲	۱,۰۹	۱,۱۳۶	۰,۰	۰,۰		
Al ^{VI}	۰,۵۰۳	۰,۲۶۴	۰,۰۵۵	۰,۰۶۳		۰,۴۹۵	۰,۳۴۶	۳,۶۴۸	۳,۶۲۵			۱,۹۲۷	۱,۹۴۴		
Fe ²⁺	۱,۶۲۸	۱,۰۴۳	۰,۰۸۹	۰,۱۰۳	۰,۰	۱,۳۵۴	۱,۴۸۸	۰,۱۴۸	۰,۱۳۱	۰,۰	۰,۰	۱,۸۱	۱,۹۷		
Fe ³⁺	۰,۰۵۲	۰,۰۴۵	۰,۱۲۵	۰,۱۰۷	۰,۰۰۳	۰,۰	۰,۰	۰,۰	۰,۰	۰,۰۰۲۵	۰,۰۰۰۶	۰,۰	۰,۰		
Mn	۰,۰۲۳	۰,۰۲۴	۰,۰۰۶	۰,۰۰۶	۰,۰	۰,۰۱۵	۰,۰۱۵	۰,۰۰۳	۰,۰	۰,۰۰۰۴	۰,۰۰۰۵	۰,۷۳۲	۰,۴۸		
Mg	۲,۷۰۹	۳,۰۶۱	۰,۷۸۶	۰,۷۷۸	۰,۰	۰,۹۷۵	۱,۰۶۹	۰,۱۲۷	۰,۱۲۳	۰,۰	۰,۰	۰,۱۸۷	۰,۳۰۵		
Ca	۱,۹۸۸	۱,۹۳۳	۰,۹۵۹	۰,۹۶۱	۰,۰۶۹	۰,۰۳۱	۰,۰۰۹	۰,۰۱۱	۰,۰۰۶	۰,۱۰۳	۰,۱۰۹	۰,۲۹۲	۰,۲۶۴		
Na	۰,۴۸۸	۰,۴۳۹	۰,۰۴۴	۰,۰۴۲	۰,۰	۰,۸۱۶	۰,۰۲۹	۰,۰۲	۰,۱۱۵	۰,۹۲	۰,۷۰۶	۰,۵۹۱	۰,۰		
K	۰,۱۱۹	۰,۰۸	۰,۰	۰,۰	۰,۰۰۲	۰,۰۵۴	۰,۶۴۲	۱,۲۴۷	۱,۱۲	۰,۰۳	۰,۰۶۴	۰,۰	۰,۰		
Sum	۱۵,۵۹۱	۱۵,۴۴۸	۳,۹۹۵	۳,۹۹۵	۳,۸۹	۷,۰۹	۷,۷۰۸	۱۳,۳۶۸	۱۳,۱۸	۴,۸۸	۴,۸۲۲	۷,۹۹۷	۷,۹۹۶		
Mg#	۶۲	۷۴	۸۹	۸۸		۴۱	۴۲					۹	۱۳		
B ^B Ca/B(Ca+Na)	۱,۰۱۲	۱,۰۲۳													
Wo			۴۷,۷۵	۴۸,۸											
En			۳۹,۷۷	۳۹,۶											
Fs			۱۱,۸	۱۱,۰۵											
Grs												۹,۶	۸,۷		
Pyp												۶,۲	۱,۰		
Alm												۵۹,۶	۶۵		
Sps												۲۴,۲	۱۶		
Ms							۷۵,۸	۷۴,۹							
Cel							۱۱,۴	۱۴,۴							
Pg							۸,۳	۷,۶							
Ab				۹۱,۸						۸۴	۷۷,۲				
An				۷,۸						۱۲,۳	۱۴,۳				
Or				۰,۳						۳۶	۸,۴				

گروسوکار و پیروپ است. شاخص‌های ترکیبی این گارنت‌ها (تمرکز بالاتر منگنز و مقادیر کمتر منیزیم و آلماندن در مرکز نسبت به حاشیه) نیز بیان گر رشد آنها طی دگرگونی پیش‌رونده است.

با توجه به نتایج بررسی‌ها، گارنت نمونه متابولیتی نسبت به نمونه‌ی متابولیتی غنی از آلماندن و اسپسارتین و فقیر از

متاپلیت

گارنت

گرمابی حاکم بر بخش قاعده‌ای توالی گابرویی پشتی میان اقیانوسی همخوانی دارد.

فشارسنجدی با استفاده از گستره‌ی پایداری فازهای تیتانیم‌دار در شکل ۶ علاوه بر ایزوپلت‌های تیتانیم و آلومینیم آمفیبیول، منحنی‌های گستره‌ی پایداری فازهای تیتانیم‌دار در سیستم مورب (MORB) آبدار بر اساس بررسی‌های [۲۴] نمایش داده شده‌اند. بنابراین منحنی‌ها، روتیل، فاز فشار بالاست و حضور آن در نمونه گارنت‌هورنبلنیدیت نشان‌دهنده‌ی فشار ۱۳ کیلوبار است.

دما-فشارسنجدی به کمک شبکه‌ی سنگ‌زایی شبه‌بازی بررسی‌های آزمایشگاهی [۲۴] بیان‌گر آن است که در سیستم مورب آبدار، حداقل فشار لازم برای تبلور گارنت در دمای ۶۰۰ تا ۷۰۰ درجه‌ی سانتیگراد، در حدود ۸ کیلوبار می‌باشد. لذا با در نظر گرفتن ترکیب مورب برای نمونه‌های آمفیبیول شبکه‌ی آزمایشگاهی [۲۴] با آزمایش های آمفیبیول نبود گارنت در نمونه‌های آمفیبیول شیست و گارنت‌هورنبلنیدیت، نبود گارنت در حالی که وجود شبکه‌ی آزمایشگاهی فشار ۸ کیلوبار است در حالی که وجود گارنت در نمونه‌ی گارنت‌هورنبلنیدیت نشان‌دهنده‌ی کمینه فشار کیلوبار است. با توجه به منحنی انجماد بازالت آبدار و نبود شواهد ذوب‌بخشی در این نمونه‌ها، دمای دگرگونی کمتر از ۷۵۰ درجه‌ی سانتیگراد بوده است. اخیراً [۲۵] با آزمایش های تجربی ضمن بررسی ذوب‌بخشی، موفق به ترسیم شبکه‌ی سنگ‌زایی متاپازیت‌ها شده‌اند. بنابر شبکه‌ی پتروزنیک، این پژوهشگران، حداقل فشار تبلور گارنت را در حدود ۹/۵ کیلوبار براورد کرده و در دامنه‌ی دمایی که آمفیبیول گارنت-هورنبلنیدیت‌ها متبلور شده‌اند حداقل فشار تبلور روتیل ۱۰ کیلوبار است. بنابراین وجود روتیل و گارنت در نمونه‌ی گارنت-هورنبلنیدیت بیان‌گر حداقل فشار ۱۰ کیلوبار است و نبود گارنت در نمونه‌ی آمفیبیول شیست حداقل فشار ۹/۵ کیلوبار را نشان می‌دهد.

متاپلیت

دما و فشار محاسبه شده با نرم‌افزار ترموکالک [۲۶] برای پاراژنز دگرگون شامل گارنت، بیوتیت، موسکوویت و فلدسپار موجود در نمونه‌ی گارنت‌شیست به ترتیب عبارتند از $107^{\circ}\text{C} \pm 567$ و $2/3\text{Kb} \pm 8/7$.

مدل فعل اعضای نهایی استفاده شده در محاسبه میانگین دما و فشار به شرح زیرند:

فلدسپار

فلدسپار موجود در نمونه‌ی متاپلیتی از نوع الیگوکلاز است و سازنده‌های آن به قرار زیرند: آلبیت (۷۷ تا ۸۴ درصد)، آنورتیت (۱۲ تا ۱۴ درصد) و ارتوز (۳ تا ۸ درصد).

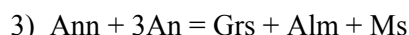
دما-فشارسنجدی

با توجه به محدود بودن تعداد فازهای موجود در نمونه‌های گارنت‌شیست و گارنت‌هورنبلنیدیت، ارزیابی شرایط دما و فشار دگرگونی با استفاده از نرم‌افزار ترموکالک امکان‌پذیر نیست. اما در نمونه گارنت‌شیست، دما-فشارسنجدی و ارزیابی جامع‌تر از شرایط دگرگونی مجموعه‌ی مورد بررسی با استفاده از روش تعادل چندگانه (نرم‌افزار ترموکالک) و دما-فشارسنجدی قراردادی میسر شده است. در این بخش با استفاده از نرم‌افزار ترموکالک نسخه‌ی ۳-۲۶، شبکه‌های پتروزنیک و دما-فشارسنجدی‌های قراردادی، شرایط دما-فشار سنگ‌های دگرگونی مجموعه‌ی افیولیتی شمال تربت حیدریه تعیین شده‌اند که در ادامه به تشریح آنها می‌پردازیم.

متاپازیت‌ها

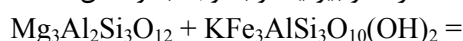
دما-فشارسنجدی به کمک ترکیب شیمیایی آمفیبیول با استفاده از غلظت تیتانیم و آلومینیم آمفیبیول کلیسیک موجود در ترکیبات بازالت پشتی میان اقیانوسی، در دامنه‌ی دمای ۶۵۰ تا ۹۵۰ درجه‌ی سانتیگراد و فشار ۸ تا ۲۲ کیلوبار، [۲۳] نمودار دما - فشارسنجدی آمفیبیول به صورت نیمه‌کمی را ابداع کرده‌اند. نتایج حاصل از نمودار دما-فشارسنجدی آمفیبیول بیان-گر آن است که آمفیبیول نمونه‌ی گارنت‌هورنبلنیدیت در دمای ۷۵۰ تا ۷۷۰ درجه‌ی سانتیگراد و فشار ۱۳ کیلوبار متبلور شده‌اند. در حالی که نمونه‌های آمفیبیول شیست نشان‌دهنده فشار ۷/۵ تا ۱۲ کیلوبار و در دمای ۶۵۰ تا ۵۷۰ درجه‌ی سانتیگراد هستند (شکل ۶). شرایط دما و فشاری که آمفیبیول نمونه‌های گارنت-هورنبلنیدیت و آمفیبیول شیست متمایز بوده و غالباً شامل دمای بالاتر از ۸۰۰ درجه‌ی سانتیگراد و فشار کمتر از ۵ کیلوبار است.

چنانکه پیش از این نیز گفته شد ترکیب آمفیبیول نمونه‌های آمفیبیولیت با انواع موجود در نمونه‌های آمفیبیول-شیست و گارنت هورنبلنیدیت متفاوت است و بیان‌گر تشکیل آمفیبیولیت در محل پشتی میان اقیانوسی است. شرایط دما و فشار محاسبه شده برای این نمونه‌ها نیز با شرایط دگرگونی



دماسنجدی گارنت- بیوپتیت

این روش دماسنجدی بر مبنای تبادل کاتیونی آهن و منیزیم بین کانی‌های همزیست گارنت و بیوپتیت و با توجه به واکنش



صورت می‌گیرد. نتایج دماسنجدی گارنت- بیوپتیت با

کالیبراسیون‌های مختلف [۳۸-۲۹] که بیان گر دمای ۵۸۱ تا

۷۲۵ درجه‌ی سانتیگراد است در جدول ۲ ارائه شده‌اند.

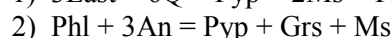
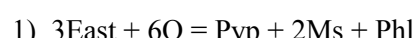
Fsp: model 1 [۲۷].

Mu: Nonideal mu-cel-fcel-pa [۲۸].

Grt: 2-site mixing + Regular solution gammas, Ferric from: Cation Sum = 8 for 12 oxygens.

Bt: Al-M1 ordered, site-mixing model + macroscopic RS gammas: (ann, phl, east, obi).

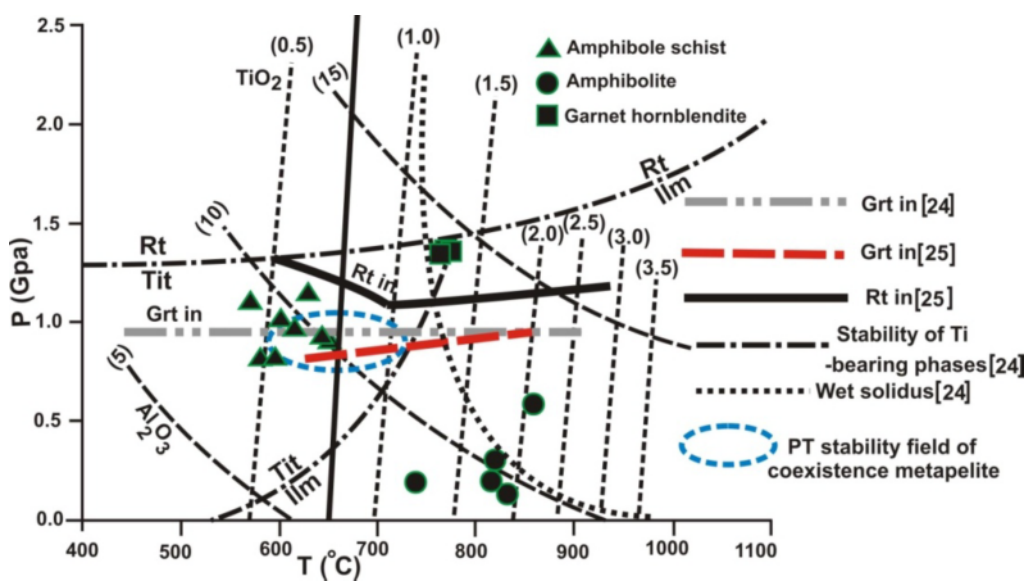
واکنش‌های دگرگونی محاسبه شده با نرم‌افزار ترمومکالک که به کمک آنها میانگین دما و فشار دگرگونی تعیین شده، به قرار زیرند:



جدول ۲ نتایج دما- فشارسنجی نمونه متاپلیتی.

Thermocalc	Temperature (°C)						Pressure (Kb)	
	107 ± 567						23 ± 87	
Conventional Thermobarometers	Grt-Bt	B92HW ۶۰۶-۶۱۸	B92GS ۵۸۱-۵۹۵	Dasg91 ۶۴۱-۶۰۰	WG90 ۷۲۵-۷۴۰	IM85a ۶۱۰-۶۱۹	IM85b ۶۸۷-۷۰۵	P_{Mg} ۹۶-۱۰۱۷
		GS84 ۶۸۵-۶۷۶	PL83 ۶۳۴-۶۴۴	HS82 ۶۸۹-۶۷۲	FS78 ۶۵۴-۶۳۶	HL77 ۶۴۳-۶۵۵	T76 ۶۸۷-۷۰۱	P_{Fe} ۷۶۸-۸۱۸
								H90
								R1 P ۹۰۲۱-۱۰۰۲۱
	GPBMO							R2 P ۸۰۲۲-۹۰۲۳
								R3 P ۸۰۴۳-۹۰۱۴
								R4 P ۷۰۷۴-۸۰۶۶
								R5 P ۸۰۸۲-۹۰۲۵
								R6 P ۷۰۷۵-۷۰۵۴

B92: [۲۹]; Dasg91: [۳۰]; WG90: [۳۱], IM85a,b: [۳۲], GS84: [۳۳], PL83: [۳۴]; HS82: [۳۵]; FS78: [۳۶]; HL77: [۳۷]; T76: [۳۸]. H91: [۳۹], H90: [۴۰].



شکل ۶ دما- فشارسنجی با استفاده از ترکیب شیمیایی آمفیبول و شبکه‌ی پتروزنتمیک متابازیت‌ها. توضیحات تکمیلی در متن ارائه گردیده است. محدوده دما و فشار متاپلیت هم‌زیست با متباذیت‌های مورد بررسی که با نرم‌افزار ترمومکالک و دما- فشارسنج‌های قراردادی محاسبه شدند نیز در

شکل به صورت بیضی خط چین نمایش داده شده‌اند.

گارنت‌هورنبلنیدیت مستقل از دگرگونی کف اقیانوس است. از طرفی هم‌زیستی رسوب‌های تخریبی دگرگون شده با نمونه‌های آمفیبیول‌شیست، نشان‌دهنده‌ی آن است که جایگاه فرایند دگرگونی این نمونه‌ها دور از محل پشتی میان اقیانوسی و سیستم گرمایی همراهی کننده‌ی آن بوده است.

وجود سنگ‌های دگرگونی با پروتولیت متفاوت در یک سرزمین دگرگونی، و محاسبه‌ی دما و فشار تشکیل آنها، امکان ارزیابی جامع‌تر از شرایط دگرگونی را میسر می‌سازد. نتایج ارزیابی دما و فشار که به روش‌های مختلف برای هر یک از نمونه‌های متابازیتی (آمفیبیول‌شیست و گارنت‌هورنبلنیدیت) و متابالیتی مورد بررسی به دست آمده هم‌خوانی نسبتاً قابل‌توجهی نشان می‌دهند و نشان‌دهنده‌ی فرایند دگرگونی در شرایط رخساره‌ی آمفیبیولیت و اپیدوت‌آمفیبیولیت فشار بالاست. گرادیان زمین‌گرمایی حاصل از محاسبات دما و فشارسنجدی این نمونه‌ها با شرایط دگرگونی گرمایی معمول در پشتی میان اقیانوسی، مغایرت دارد و بیان‌گر ارتباط دگرگونی با فرایند پسته شدن حوضه‌ی اقیانوسی (فرورانش و فرارانش لیتوسفیر اقیانوسی) است.

در گذشته‌ای نه چندان دور، سازوکار دگرگونی متابازیت‌های موجود در مجموعه‌های افیولیتی مبهم بود و سنگ‌های دگرگونی این مناطق، قدیمی‌تر از افیولیت‌ها و به عنوان باقیمانده‌هایی از پی‌سنگ قاره‌ای در نظر گرفته شده‌اند. از این‌رو در ایران نیز خاستگاه سنگ‌های دگرگونی مناطق افیولیتی نقاطی مانند نائین [۴۲] و سبزوار [۴۳] قطعات نابرجا با خاستگاه پی‌سنگ قاره‌ای قدیمی قلمداد شده‌اند. اما در سال‌های اخیر با پیشرفت‌های تجزیه‌ی نقطه‌ای کانی‌ها و در نتیجه شناخت شرایط دگرگونی، تعیین ترکیب شیمیایی پروتولیت و بررسی‌های سال‌سنجدی و ایزوتوپی، ارتباط سنگ‌شناسی و زمانی تنگانگ بین سنگ‌های دگرگونی و مجموعه‌های افیولیتی هم‌جوار روش‌شده است. بنابراین امروزه سازوکار دگرگونی این‌چنین سنگ‌هایی همانند انواع موجود در

فشارسنجدی گارنت-پلازیوکلاز-بیوتیت-موسکویت-کوارتز (GPBMQ)

پارازن‌کانی‌شناسی گارنت + پلازیوکلاز + بیوتیت + موسکویت + کوارتز در طیف گسترده‌ای از ترکیبات متابالیتی در شرایط دامنه‌ی فشار و دمای قبل توجهی پایدار است. ارزیابی فشار با $Grs + Prp + Ms = 3An + Ann + Phl$ استفاده از واکنش‌های انتقالی محض که در $Grs + Alm + Ms = 3An + 3An + Phl$ پارازن‌کانی‌شناسی امکان‌پذیر است صورت می‌گیرد [۴۰، ۳۹]. فشار محاسبه شده برای نمونه متابالیتی با استفاده از اعضای آهن‌دار فازهای موجود در واکنش ۷/۶۸ تا ۸/۱۸ کیلوبار و به یاری عضو منیزیم‌دار واکنش، ۹/۶ تا ۱۰/۱۷ کیلوبار است. خلاصه نتایج دما-فشارسنجدی متابالیت مورد بررسی در جدول ۲ ارائه شده است.

بحث و بررسی

در مناطق افیولیتی، سازوکار و عوامل موثر در ایجاد سنگ‌های دگرگونی از تنوع زیادی برخوردارند. جدایش انواع مختلف دگرگونی و فاکتورهای موثر در آن، دارای پیچیدگی زیادی بوده و آگاهی از تاریخچه تکتونوماتامورفیسم منطقه مستلزم بررسی‌های دقیق پترولوجیکی است. علاوه بر سنگ‌های دگرگونی حاصل از سیستم هیدرولترمال حاکم بر محل پشتی میان اقیانوسی، واحدهای دگرگونی درجه بالا نیز وجود دارند که در هاله‌های دگرگونی تعدادی از بلوک‌های افیولیتی به صورت دگرگونی قاعده‌ای یافت می‌شوند [۴۱]. این نوع سنگ‌های دگرگونی با جایگزینی افیولیت‌ها روی پوسته‌ی قاره‌ای و یا حواشی غیرفعال وابسته‌اند (افیولیت‌های تیپیسی).

چنانکه در مباحث قبل بیان شد با توجه به شواهد بافتی، ترکیب شیمیایی آمفیبیول و محاسبات دما-فشار، تبلور آمفیبیول نمونه‌های آمفیبیولیت در شرایط گرمایی حاکم بر محور پشتی میان‌اقیانوسی صورت گرفته است. اما شواهد بافتی، ژئوشیمیایی و پارازن‌های کانی‌شناسی هم‌زیست بیان‌گر آن است که شکل‌گیری آمفیبیول نمونه‌های آمفیبیول‌شیست و

مجموعه افیولیتی شمال تربت حیدریه نیز احتمالاً از نوع قاعده‌ای بوده و حاصل آغاز فرونش در لیتوسفر اقیانوسی جوان هستند. هر چند اثبات فرایند دگرگونی تحت این شرایط، مستلزم وجود شواهد صحرایی مانند کاهش گرادیان گرمایی از محل همیری قاعده لیتوسفر اقیانوسی داغ به سمت واحدهای زیرین مجموعه دگرگونی قاعده‌ای است، ولی نظر به این که افیولیت‌های شمال تربت حیدریه همانند بیشتر مجموعه‌های افیولیتی ایران به صورت آمیزه‌ی زمین‌ساختی هستند مرز همیری اولیه بین سنگ‌های دگرگونی قاعده‌ای و لیتوسفر اقیانوسی موجود نیست و سنگ‌های دگرگونی به صورت بلوك‌های نابرجا در داخل زمینه‌ی سرپانتینیتی یافت می‌شوند. از طرفی بنابر گرادیان دگرگونی و لیتولوژی حاکم بر این جایگاه، بخش سطحی توالی دگرگونی که در منطقه‌ی مورد بررسی شامل واحدهای مرمر، رسوب‌های تخریبی دگرگون شده، آمفیبولیت و گارنت‌هورنبلنیت است، شرایط گرمایی بالاتری نسبت به واحدهای متابازیت‌های زیرین دارند. اگر آمفیبولیت‌های منطقه به عنوان بخش زیرین واحدهای فوق در نظر گرفته شوند باستی دمای کمتر و فشار بالاتری را نشان دهند. اما نتایج دما- فشارسنگی با وجود این چنین گرادیان دگرگونی مغایرت دارد.

وجود رسوب‌های تخریبی دگرگون شده هم‌زیست با متابازیت‌های حاصل از دگرگونی قاعده‌ای در مجموعه‌ی افیولیتی شمال تربت حیدریه، نشان‌دهنده آن است که در محل آغاز فرونش رسوب‌های تخریبی حضور داشته و بعبارتی محل شروع فرونش و جایگیری افیولیت، نزدیک حاشیه قاره بوده است. در حال حاضر تنها داده‌های آنالیز نقطه‌ای از سنگ‌های دگرگونی مجموعه افیولیتی شمال تربت حیدریه در دسترس است و با توجه به مباحثه یاد شده، در راستای شناخت سنگ‌شناسی جامع‌تر این واحدهای دگرگونی و شناخت دقیق‌تر ارتباط بین شکل‌گیری، آغاز فرونش و جایگیری افیولیت، بررسی ژئوشیمی سنگ کل و تعیین سن

مجموعه‌ی افیولیتی شمال تربت حیدریه را به فرایند بسته شدن حوضه‌ی اقیانوسی و جایگیری افیولیت‌ها طی فرارنش لیتوسفر اقیانوسی در نظر می‌گیرند.

علاوه بر شکل‌گیری و جایگاه زمین‌ساختی افیولیت‌ها، یکی از جنبه‌های سنگ‌شناسی، مسئله سازوکار جایگزینی آن‌ها در لبه‌ی حاشیه‌ی قاره‌ای است که توجه بسیاری از پژوهندگان را به خود مشغول ساخته است. در این رابطه بررسی سنگ‌های دگرگونی وابسته به مجموعه‌های افیولیتی بسیار اهمیت دارد [۴۵، ۴۶]. بر اساس چگونگی جایگزینی، افیولیت‌های تیسی انواعی هستند که جایگیری آن‌ها روی حواشی قاره‌ای و یا جزایر قوسی صورت گرفته است. شاخص‌های سنگ‌شناسی بسیاری از افیولیت‌های تیسی، بیان‌گر تشکیل آنها در جایگاه بالای منطقه‌ی فرونش است [۴۶]. اخیراً [۱۴] ضمن ارائه مدل ژئوپلیتیک بالای منطقه‌ی فرونش برای افیولیت‌های سبزوار، جایگاه پشت قوس یا بالای منطقه‌ی فرونش را نیز برای تشکیل افیولیت‌های تربت حیدریه خاطرنشان کرده‌اند. این پژوهندگان ضمن تعیین سن افیولیت‌های تربت حیدریه ۹۸ میلیون سال قبل، به وجود شاخص‌های ژئوشیمیایی فرونشی در پلاژیوگرانیت‌های این مجموعه افیولیتی پی برده‌اند.

بلوک‌های متابازیتی با درجه بالا (آمفیبولیت و گارنت-آمفیبولیت) همانند انواع موجود در مجموعه‌ی افیولیتی شمال تربت حیدریه، در بسیاری از افیولیت‌های تیسی بالای منطقه‌ی فرونش معمول بوده و به عنوان محصول دگرگونی قاعده‌ای ناشی از فرایند آغاز فرونش در پوسته‌ی اقیانوسی جوان تفسیر شده‌اند [۴۷-۴۹]. دما و فشار سنگ‌های دگرگونی مجموعه افیولیتی شمال تربت حیدریه مشابه شرایط دگرگونی بسیاری از متابازیت‌های قاعده‌ای مناطق دیگر افیولیتی قلمرو تیس [۴۶، ۵۰-۵۲] است. لذا با توجه به نتایج دما- فشارسنگی و هم‌زیستی مکانی نزدیک با مجموعه‌ی افیولیتی، سنگ‌های دگرگونی (آمفیبولیت، گارنت‌هورنبلنیت و گارنت‌شیست)

from the Sabzevar range (NE Iran): implications for the closure of the Mesozoic peri-Tethyan oceans in Central Iran", Terra Nova 22 (2010), 26-34.

[3] Shafaii Moghadam H., Whitechurch H., Rahgoshay M., Monsef I., "Significance of Nain-Baft ophiolitic belt (Iran): short-lived, transitional Cretaceous back-arc oceanic basins over the Tethyan subduction zone", Comptes Rendus Geoscience 341 (2009) 1016–1028.

[4] Bagheri S., Stampfli G. M., "The Anarak, Jandaq and Posht-e-Badam metamorphic complex in Central Iran: New geological data, relationships and tectonic implications", Tectonophysics 451 (2008), 123-155.

[5] Stampfli G. M., Borel G. D., "A plate tectonic model for the Paleozoic and Mesozoic constrained by dynamic plate boundaries and restored synthetic oceanic isochrons", Earth and Planetary Science Letters 196 (2002), 17–33.

[6] Besse J., Torcq F., Gallet Y., Ricou L. E., Krystyan L., Saidi A., "Late Permian to late Triassic paleomagnetic data from Iran: constraints on migration of the Iranian block through the Tethyan ocean and initial destruction of Pangea", Geophys. J. Int. 135 (1998), 77-92.

[7] Berberian M., King G. C. P., "Toward a paleogeography and tectonic evolution of Iran", Canadian Journal of Earth Science 18 (1981), 210-265.

[8] Fazlnia A.N., Schenk V., van der Straaten F., Mirmohammad M., "Petrology, geochemistry, and geochronology of trondhjemites from the Qori Complex, Neyriz, Iran", Lithos 112 (2009), 413–433.

[9] Omrani J., Agard P., Whitechurch H., Benoit M., Prouteau G., Jolivet L., "Arc-magmatism and subduction history beneath the Zagros Mountains, Iran: A new report of adakites and geodynamic consequences", Lithos 106 (2008), 380–398.

[10] Arvin M., Pan Y., Dargahi S., Malekizadeh A., Babaei A., "Petrochemistry of the Siah-Kuh granitoid stock southwest of Kerman, Iran: Implications for initiation of Neotethys

سنگ‌های دگرگونی مجموعه افیولیتی شمال تربت حیدریه ضروری است.

برداشت

با توجه به شواهد میکروسکوپی و صحرایی، داده‌های ژئوشیمیایی، محاسبات دما- فشارسنگی و تغییرات گردیان دگرگونی، در رابطه با شکل‌گیری و جایگاه زمین‌ساختی سنگ‌های دگرگونی مجموعه افیولیتی شمال تربت حیدریه نتایج زیر حاصل شده‌اند:

۱- نمونه‌های آمفیبولیت محصول دگرشکلی و دگرگونی گرمابی در محور پشته‌ی میان اقیانوسی هستند.

۲- نتایج دما- فشارسنگی نمونه‌های متاپلیتی (گارنت‌شیست) و متاپلیتی (آمفیبول‌شیست و گارنت‌هورنبلن‌دیت) مجموعه‌ی افیولیتی شمال تربت حیدریه تقریباً مشابه بوده و بیان‌گر انجام فرایند دگرگونی شرایط آمفیبولیت و اپیدوت‌آمفیبولیت در فشار بالاست. این‌چنین شرایط دما و فشار با فرایند دگرگونی در شرایط گرمابی حاکم بر محور پشته‌ی میان اقیانوسی مغایرت دارد. این سنگ‌ها، همانند بسیاری از سنگ‌های دگرگونی موجود در افیولیت‌های تیتیسی بالای منطقه‌ی فروزانش، شرایط دگرگونی دما و فشار نسبتاً بالا را نشان می‌دهند و به عنوان محصول دگرگونی قاعده‌ای تفسیر شده‌اند.

۳- وجود رسوب‌های تخریبی دگرگون شده در جایگاه دگرگونی قاعده‌ای، دنباله‌ی افیولیتی شمال تربت حیدریه، نشان‌دهنده‌ی آن است که محل آغاز فروزانش لیتوسفر اقیانوسی جوان هم- جوار با یک حاشیه‌ی قاره‌ای بوده است.

مراجع

[1] Nasrabady M., Rossetti F., Theye T., Vignaroli G., "Metamorphic history and geodynamic significance of the Early Cretaceous Sabzevar granulites (Sabzevar structural zone, NE Iran)", Solid Earth 3 (2011), 477–526.

[2] Rossetti F., Nasrabady M., Vignaroli G., Theye T., Gerdes A., Razavi S. M. H., Moin Vaziri H., "Early Cretaceous migmatitic mafic granulites

- Welch M. D., "Nomenclature of the amphibole super group", *American Mineralogist* 97 (2012), 2031-2048.
- [21] Coogan L. A., Wilson R. N., Gillis K. M., MacLeod C. J., "Near solidus evolution of oceanic gabbros: insights from amphibole geochemistry", *Geochim Cosmochim Acta* 65 (2001), 4339-4357.
- [22] Morimoto N., "Nomenclature of pyroxenes", *American Mineralogist* 73 (1988), 1123-1133.
- [23] Ernst W. G., Liu J., "Experimental phase-equilibrium study of Al- and Ti-contents of calcic amphibole in MORB; a semi-quantitative thermobarometer", *American Mineralogist* 83 (1998), 952-969.
- [24] Liu J., Bohlen S.R., Ernst W.G., "Stability of hydrous phases in subducting oceanic crust", *Earth and Planetary Science Letters*, 143 (1996), 161-171.
- [25] Nagel T. J., Hoffmann E., Münker C., "Generation of Eoarchean tonalite-trondhjemite-granodiorite series from thickened mafic arc crust", *Geology* 40 (2012), 375-378.
- [26] Powell R., Holland T. J. B., "On thermobarometry", *Journal of Metamorphic Geology* 26 (2008), 155-179.
- [27] Holland T. B. J., Powell R., "Plagioclase feldspars: activity-composition relations based upon Darken's Quadratic Formalism and Landau theory", *American mineralogist* 77 (1992), 53-61.
- [28] Coggon R., Holland T. J. B., "Mixing properties of phengitic micas and revised garnet-phengite thermobarometers", *Journal of Metamorphic geology* 20 (2002) 683-696.
- [29] Bhattacharya A., Mohanty L., Maji A., Sen S. K., Raith M., "Non-ideal mixing in the phlogopite-annite binary: constraints from experimental data on Mg-Fe partitioning and a reformulation of the biotite-garnet geothermometer", *Contributions to Mineralogy and Petrology* 111 (1992), 87-93.
- [30] Dasgupta S., Sengupta P., Guha D., Fukuoka M., "A refined garnet-biotite Fe-Mg exchange geothermometer and its application in amphibolites and granulites", *Contributions to Mineralogy and Petrology* 109 (1991), 130-137.
- subduction", *Journal of Asian Earth Science* 27 (2007), 1-9.*
- [11] Ghasemi A., Talbot C. J., "A new tectonic scenario for the Sanandaj-Sirgan zone, Iran", *Journal of Asian Earth Science* 26 (2006), 683-693.
- [12] Sengör A. M. C., Altmer D., Cin A., Ustaömer T., Hsü K. J., "Origin and assembly of the Tethys side orogenic collage at the expense of Gondwana Land", *Geological Society of London Special Publication* 37 (1988), 119-181.
- [13] McCall G. J. H., "The geotectonic history of the Makran and adjacent area of Southern Iran", *Journal of Asian Earth Science* 15 (1997), 517-531.
- [14] Shafaii Moghadam H., Corfu F., Chiaradia M., Stern R. J., Ghorbani Gh., Rossetti F., "Sabzevar Ophiolite, NE Iran: progress from embryonic oceanic lithosphere into magmatic arc constrained by new isotopic and geochemical data", *Lithos* (2015), doi: 10.1016/j.lithos.2014.10.004.
- [15] Khalatbari Jafari M., Babaie H. A., Gani M., "Geochemical evidence for Late Cretaceous marginal arc-to-back arc transition in the Sabzevar ophiolitic extrusive sequence, northeast Iran", *Journal of Asian Earth Science* 70 (2013), 209-230.
- [۱۶] سهندی م. ر., "نقشه زمین‌شناسی چهارگوش سبزوار-سازمان زمین‌شناسی و اکتشافات معدنی ایران", مقیاس ۱/۲۵۰۰۰۰، (۱۳۷۲)، ورقه J-4
- [۱۷] ناظر ن خ., "نقشه زمین‌شناسی چهارگوش جاجرم - سازمان زمین‌شناسی و اکتشافات معدنی ایران", مقیاس ۱/۲۵۰۰۰۰، (۱۳۷۱)، ورقه ۱
- [۱۸] خلقی خسرقی م. ح., "نقشه زمین‌شناسی ۱/۱۰۰۰۰۰، تربت حیدریه، (۱۳۷۵) شماره ۷۸۶۰
- [19] Kretz R., "Symbols for rock-forming minerals", *American Mineralogist* 68 (1983), 277-279.
- [20] Hawthorne F. C., Oberti R., Harlow G. E., Maresch W. V., Martin R. F., Schumacher J., C.,

- [40] Hoisch T. D., "Empirical calibration of six geobarometers for the mineral assemblage quartz + muscovite + biotite + plagioclase + garnet", Contributions to Mineralogy and Petrology 104 (1990), 225–234.
- [41] Nicolas A., "Structures of ophiolites and dynamics of oceanic lithosphere", Kluwer Acad. Publ., Dordrechet (Pays- Bus) (1989), 367P.
- [42] Davoudzadeh M., "Geology and petrography of the area north of Nain, Central Iran", Geological Survey of Iran. Rep. (1972) No.: 39.
- [43] Alavi - Tehrani N., "Geology and petrography in the ophiolite range NW of Sabzevar (Khorasan/Iran with special regards to metamorphism and genetic relations in an ophiolite suite", Geological Survey of Iran, Rep (1977). No.: 43.
- [44] Wakabayashi J., Ghatak A., Basu A. R., "Suprasubduction-zone ophiolite generation, emplacement, and initiation of subduction: A perspective from geochemistry, metamorphism, geochronology, and regional geology", Geological Society of America 122 (2010), 1548-1568.
- [45] Wakabayashi J., Dilek Y., "What constitutes emplacement of an ophiolite? Mechanisms and relationship to subduction initiation and formation of metamorphic soles, in Dilek, Y., and Robinson, P. T., eds., Ophiolites in Earth History", Geological Society of London Special Publication 218 (2003) 427–447.
- [46] Pearce J.A., Lippard S.J., Roberts S., "Characteristics and tectonic significance of supra-subduction zone ophiolites, in Kokelaar, B. P., and Howells, M. F., eds., Marginal basin geology: Volcanic and associated sedimentary and tectonic processes in modern and ancient marginal basins", Geological Society of London Special Publication 16 (1984), 74–94.
- [47] Spray J.G., "Possible causes and consequences of upper mantle decoupling and ophiolite displacement, in Gass, I. G., Lippard, S. J., and Shelton, A. W., eds. Ophiolites and oceanic lithosphere", Geological Society of London Special Publication 13(1984), 255–268.
- [31] Williams M. L., Grambling J. A., "Manganese, ferric iron, and the equilibrium between garnet and biotite", American Mineralogist 75 (1990), 886–908.
- [32] Indares A., Martignole J., "Biotite-garnet geothermometry in the granulite facies: The influence of Ti and Al in biotite", American Mineralogist 70 (1985), 272–278.
- [33] Ganguly J., Saxena S. K., "Mixing properties of aluminosilicate garnets: Constraints from natural and experimental data, and applications to geothermobarometry", American Mineralogist 69 (1984), 88–97.
- [34] Perchuk L.L., Lavrent'eva, "Experimental investigation of exchange equilibria in the system cordierite-garnet-biotite. in Saxena, S.K., Ed., Kinetics and Equilibrium in Mineral Reactions", Advances in Physical Geochemistry 3 (1983), 199–239, Springer, New York.
- [35] Hodges K. V., Spear F. S., "Geothermometry, geobarometry and the Al_2SiO_5 triple point at Mt. Moosilauke, New Hampshire", American Mineralogist 67 (1982), 1118–1134.
- [36] Ferry J. M., Spear F. S., "Experimental calibration of the partitioning of Fe and Mg between biotite and garnet", Contributions to Mineralogy and Petrology 66 (1978), 113-117.
- [37] Holdaway M. J., Lee S. M., "Fe-Mg cordierite stability in high grade pelitic rocks based on experimental, theoretical, and natural observations", Contributions to Mineralogy and Petrology 63 (1977), 175–198.
- [38] Thompson A. B., "Mineral reaction in pelitic rocks: I Prediction in $P-T-X$ (Fe-Mg) phase relations. II. Calculations of some $P-T-X$ (Fe-Mg) phase relations", American Journal of Science 276 (1976), 401–454.
- [39] Hoisch T. D., "Equilibria within the mineral assemblage quartz + muscovite + biotite + garnet + plagioclase, and implications for the mixing properties of octahedrally-coordinated cations in muscovite and biotite", Contributions to Mineralogy and Petrology 108 (1991), 43-54.

- [51] Önen A. P., Hall R., "Sub-ophiolite metamorphic rocks from NW Anatolia, Turkey", Journal of Metamorphic Geology 18 (2000), 483–495.
- [52] Guilmette C., Hébert R., Dupuis C., Wang C., Li Z., "Metamorphic history and geodynamic significance of high-grade metabasites from the ophiolitic mélange beneath the Yarlung Zangbo ophiolites, Xigaze area, Tibet", Journal of Asian Earth Sciences 32 (2008), 423–437.
- [48] Jamieson R. A., "P-T paths from high temperature shear zones beneath ophiolites", Journal of Metamorphic Geology 4 (1986), 3–22.
- [49] Dilek Y., Thy P., Hacker B., Grundvind S., "Structure and petrology of Tauride ophiolites and mafic dike intrusions (Turkey): implications for the Neo-Tethyan ocean", Geological Society of America Bulletin 111 (1999), 1192–1216.
- [50] Gnos E., "Peak metamorphic conditions of garnet amphibolites beneath the Semail ophiolite: Implications for an inverted pressure gradient", International Geology Review 40 (1998), 281–304.